

## تأثير درجات الحرارة المختلفة للقلي بالهواء الساخن في بعض خصائص جودة رقائق البطاطا (الشيبس)

خالد محمد محمد<sup>1\*</sup> أنور محمد الحاج علي<sup>2</sup> بسام أحمد العقلة<sup>3</sup>

<sup>1</sup> طالب دكتوراه- قسم علوم الأغذية - كلية الزراعة - جامعة دمشق.

[Khaled.mohamad@damascusuniversity.edu.sy](mailto:Khaled.mohamad@damascusuniversity.edu.sy)

<sup>2</sup> أستاذ في قسم علوم الأغذية- كلية الزراعة- جامعة دمشق- تحليل وتصنيع غذائي.

<sup>3</sup> باحث في الهيئة العامة للنفاثات الحيوية- قسم النفاثات الغذائية والصناعية- نفاثات تحليل الأغذية.

### الملخص:

أجريت هذه الدراسة في مختبر قسم علوم الأغذية - كلية الزراعة - جامعة دمشق والتقانة الحيوية- وزارة التعليم العالي، بهدف دراسة تأثير درجات حرارة القلي بالهواء الساخن (165، 175، 185م) ومقارنتها بالطريقة التقليدية (القلي العميق) في بعض خصائص جودة رقائق البطاطا (الشيبس) صنف Agria، وكمية الأكريلاميد المتشكل. أظهرت النتائج تميز العينات المقلية بالهواء الساخن على عينة القلي التقليدي (كمية الزيت الممتص وكمية الأكريلاميد المتشكل)، فكانت كمية الزيت الممتص للعينات المقلية بالهواء الساخن عند درجة حرارة 165، 175، 185م (1.45، 1.46، 1.13%) على التوالي، بينما كانت في عينة القلي التقليدي (32.21%)، أما بالنسبة لكمية الأكريلاميد المتشكل فقد بلغت في العينات المقلية بالهواء الساخن 231.17، 208.91 و 251.89 ميكروغرام/كغ على التوالي، في حين كانت الكمية المتشكلة في عينة القلي التقليدي 32.32 ميكروغرام/كغ، كما أظهرت النتائج أن ارتفاع درجة الحرارة من 165م إلى 175م أثرت إيجابياً في التقييم الحسي وبعض الخصائص اللونية في العينات المقلية بالهواء الساخن، حيث حصلت العينات المقلية بالهواء الساخن على درجة حرارة 175م على أعلى تأثير في التقييم الحسي لللون، وبلغت قيم المؤشرات اللونية لنفس العينات 74.71 لدرجة السطوع \*L، 3.99 لمؤشر الاحمرار \*a، و 25.03 لمؤشر الاصفار \*b، وكان مقدار التغير في اللون  $\Delta E$  14.87، ومعامل الاسمرار BI 43.87. أدى القلي بالهواء الساخن لتخفيض قيمة معامل الانكماس لرقائق البطاطا مقارنةً مع القلي التقليدي. يمكن اعتبار طريقة القلي بالهواء الساخن طريقة آمنة وواحدة من الناحية الصحية والصناعية للصنف المدروس.

**الكلمات المفتاحية:** رقائق البطاطا، القلي بالهواء الساخن، الخصائص الحسية، محتوى الأكريلاميد، المؤشرات اللونية.

تاريخ الإيداع: 2023/9/5

تاريخ القبول: 2023/11/19



حقوق النشر: جامعة دمشق -

سورية، يحتفظ المؤلفون بحقوق

النشر بموجب CC BY-NC-SA

## Effect of Different Temperatures of Hot Air Frying on Some Quality Properties of Potato Crisps (Chips)

<sup>1\*</sup> Khaled Mohamad Mohamad   <sup>2</sup> Anwar Mohamad  
AlHaj Ali <sup>3</sup> Bassam Ahmad AlOkla

<sup>1\*</sup> PhD student. Food science Department. Faculty of Agriculture. Damascus university. [Khaled.mohamad@damascusuniversity.edu.sy](mailto:Khaled.mohamad@damascusuniversity.edu.sy)

<sup>2</sup> Professor in Food science Department. Faculty of Agriculture. Damascus university.

<sup>3</sup> Researcher at National Commission for Biotechnology - Department of Food and Industrial Technology.

### Abstract:

Received: 5/9/2023

Accepted: 19/11/2023



Copyright: Damascus University- Syria, The authors retain the copyright under a CC BY- NC-SA

This study was done in the laboratories of Food Science Department- College of Agriculture - Damascus University and Biotechnology – Ministry of Higher Education intended to study the effect of air frying temperature (165, 175, 185 °C). on some quality properties of potato chips, and its acrylamide content. Results showed that samples fried with hot air were best in quality than traditional frying sample (the amount of absorbed oil and acrylamide). Results of the absorbed oil of samples fried with hot air (165, 175, 185 °C) were 1.45, 1.16, and 1.13% respectively, while in the traditional frying sample it was 32.21%. In addition, acrylamide reached 231.17, 208.91 and 251.89 µg/kg, respectively, while in the traditional frying sample was 895.32µg/kg. Results showed that increasing temperature from 165°C to 175°C had a positive effect in sensory evaluation and some color properties of hot air frying samples, samples fried with hot air at a temperature of 175°C had the highest color sensory evaluation. For color indices of the same samples, the degree of brightness L\* was 74.71, and the redness index. a\* was 3.99, yellowing index b\* was 25.03, while color degree ΔE was 14.87, and browning index BI was 43.87. Hot air frying reduced the volumetric shrinkage coefficient value of potato chips compared to traditional frying. The hot air frying method can be considered as safe and promising method from industrial standpoint it considers better than traditional methods.

**Keywords:** Potato Chips, Hot Air Frying, Sensory Properties, Acrylamide Content, Color Indices.

## ١-المقدمة والدراسة المرجعية:

تعد البطاطا (*Solanum tuberosum L*) من أهم محاصيل الخضروات في العالم، حيث يبلغ الإنتاج العالمي منها حوالي 368 مليون طن، وتمتاز بتنوع أصنافها والتي تقدر بحوالي 5000 صنف (Sampaio et al., 2020, 118). وبلغ إنتاج البطاطا في سوريا من مختلف الأصناف المزروعة حوالي 956 ألف طن في عام 2022 بزيادة حوالي 300 ألف طن عن عام 2021(المجموعة الإحصائية الزراعية، 2022). تعتبر عملية القلي من أكثر التقنيات المستخدمة على نطاق واسع في جميع أنحاء العالم في تحضير الأغذية، ولكن بسبب مخاطر اتباع نظام غذائي عالي الدهون، فهناك ميل متزايد لدى المستهلكين للبحث عن بدائل مغذية أكثر أماناً، لإدراكهم أن الأغذية المقلية فقدت جزءاً من خصائصها الغذائية الإيجابية، ولاحتوائها على نسبة عالية من الدهون الضارة (Giovanelli et al., 2017, 1619; Molina-Garcia et al., 2016, 271) (Pandey and Singh, 2011, 77) لذلك تركزت الأبحاث على إنتاج رقائق بطاطا قليلة الدسم والسرعات الحرارية وذات مواصفات حسية جديدة تلقى القبول لتطبيقات المستهلكين (Oladejo et al., 2018, 457) تعد المنتجات المقلية منتجات عصرية مستهلكة بشكل كبير داخل المنازل وخارجها، وعادة ما توجد في أطباق الوجبات السريعة، مما جعل من تقليل محتوى الزيت في الأغذية المقلية ضرورة أساسية. اقترحت سلسلة من البديل بهدف استبدال عملية القلي التقليدية بتقنيات قادرة على توفير خصائص مماثلة لتلك الموجودة في الأغذية المقلية، مع توفير جودة غذائية أعلى للمنتج بالإضافة إلى سهولة استعمال هذه التقنيات (Santos et al., 2017, 3). القلي بالهواء الساخن هو تقنية جديدة للحصول على المنتجات المقلية عن طريق تحريك الهواء الساخن حول المادة الغذائية بدلاً من غمرها في الزيت الساخن، من خلال الاتصال المباشر بين مستحلب خارجي من قطرات الزيت في الهواء الساخن والمنتج في حجرة القلي. يعتمد قبول هذه الطريقة على الخصائص الحسية للمنتج النهائي، والتي ينبغي أن تقارب الخصائص الظاهرة في عملية القلي التقليدية (Teruel et al., 2015, E349; Shaker, 2014, 201; Heredia et al., 2014, 755) عرف القلي بالهواء الساخن أيضاً بأنه عبارة عن تقنية يدور فيها الهواء الساخن بشكل متجانس حول المنتج بدلاً من غمره في الزيت الساخن، وبذلك يتم تجفيف المنتج تدريجياً عند درجة حرارة قلي ثابتة، ويقلل من محتوى الدهون في المنتج المقلوي، بينما تكتسب المنتجات المقلية صفة القوام الهش (سهل الكسر) عند القلي بالهواء (Sansano et al., 2015, T1120). ولكن ربما يؤثر محتوى الزيت المنخفض في العديد من الجوانب الحسية للمنتجات الغذائية مثل تكوين القشرة، الاستساغة، اللون، السطوع، وغيرها. لذا فمن المهم دراسة تأثير عملية القلي بالهواء الساخن في المنتجات الغذائية المقلية من حيث الجوانب الحسية (Heredia et al., 2014, 755). أشارت الدراسات إلى أن طريقة القلي بالهواء الساخن، تقلل بشكل كبير من محتوى الدهون في المنتجات المقلية، بنسبة تتراوح ما بين 80-90% في المنتج النهائي مقارنة بالقلي التقليدي، مع المحافظة على المذاق المقبول، وهي قادرة على الوصول بالمنتج إلى نفس اللون المميز الناتج عن القلي العميق (Abd Rahman et al., 2016, 6; Zaghi et al., 2019, 9). وجد Teruel آخرون (2015, 354) أن الاختلاف الرئيسي بين المنتجات المقلية بالهواء وبالقلي التقليدي، هو درجة جلتنا الشاء التي تكون أكبر في حالة القلي التقليدي، وأظهرت قشرة العينات المقلية بالهواء مساحات فارغة أصغر من العينات المقلية التقليدية، وإن أي فراغات تتشكل أثناء القلي العميق بالدهون ستملأ بالزيت، بينما تبقى فارغة في حالة القلي بالهواء. فيما أشار Abd Rahman آخرون (7, 2016) في دراسته حول طريقة القلي بالهواء لمقبلات البطاطا الحلوة، إلى أن الشرط لتحديد أفضل

الظروف المثلثى للقلي بالهواء، هو أن تكون محتويات الدهون والرطوبة منخفضة قدر الإمكان، وتتميز الوجبة الخفيفة التي يتم إنتاجها عن طريق تقنية القلي بالهواء بانخفاض شديد في الزيت الممتص ومظهر مشابه لعينة القلي التقليدي، وبذلك حدد الشروط المثلثى عند 150 °م لمدة 12 دقيقة لمقلبات البطاطا الحلوة. تعتمد دراسات تقليل محتوى الزيت في المنتجات المقلية بشكل أساسى وفقاً لما ذكره Liu وأخرون (2020, 575) على ثلاث طائق وهي تعديل سطح المنتج وتغيير تقنية القلي وتعديل وسط القلي. ونظراً لأن الهيكل الداخلى يؤثر على خصائص القوام (القومة المطبقة للكسر) لمقلبات البطاطا المقلية بالهواء فأن تغييره قد يؤثر على مستوى قبول المنتج لدى المستهلكين، كما أن نسبة الزيت النهاية في المنتجات المقلية بالهواء الساخن يجب ألا تتجاوز 13٪، وهي أقل بكثير من تلك الخاصة برقائق البطاطا الشائعة والتي قد تبلغ أحياناً 39٪ (Tran et al., 2007, 719).

وأشار Andrés وأخرون (1920, 2012) إلى حدوث تداخل بين الخصائص الكيميائية والخصائص الحسية للمنتجات الغذائية أثناء عملية القلي، وبين أنه في عملية القلي بالهواء، يؤدي الانخفاض في محتوى الزيت إلى إبطاء انخفاض محتوى الرطوبة وتشكل اللون المرغوب، بالمقارنة مع القلي العميق التقليدي، وبالنتيجة استغرق القلي بالهواء فترات قلي أطول لتحقيق الخصائص الحسية. أوضح Santos وأخرون (6, 2017) أن معدل التفاعلات الكيميائية والاسمرار الإنزيمى كانت أقل أثناء القلي بالهواء الساخن مقارنة بالقلي التقليدي، وهذا يجعل زمن القلي أطول. أشار Tian وأخرون (2016, 1264) في دراسته إلى أن ظروف القلي بالهواء مثل مدة القلي الطويلة ودرجة الحرارة المرتفعة، تؤدي إلى سلسلة من التغيرات في الخصائص الفيزيائية والتركيب الكيميائي والتحولات الإنزيمية للأغذية. ذكر Rothwell وأخرون (2015, 168) أن مدة القلي الطويلة ودرجات الحرارة المرتفعة تؤدي إلى خسائر أكبر في محتوى البوليفينول. اعتبر Cao وأخرون (2020, 912) أن طريقة القلي بالهواء بديلاً صحياً مفيداً لإنتاج الأغذية المقلية التي تحتوي على البروتين، إلى أن القلي بالهواء يتطلب وقت أطول لإنتاج سمات جودة مماثلة للسمات الناتجة بالقلي العميق التقليدي، بالإضافة إلى تشكيل نسبة أكبر من المركبات الحلقية غير المتجانسة وعدد أقل من الألدهيدات في حالة القلي بالهواء، كذلك كانت هشاشة قطع الدجاج المقلي بالهواء أقل بكثير من المقلية بالطريقة التقليدية، وتحتاج إلى مزيد من التحسين وضح Sansano وأخرون (2015, T1123) أن معدل التغير في قيمة المؤشر \*b عند القلي يكون أسرع بارتفاع نسبة السكريات المرجعة في عينات البطاطا المقلية. بين Zaghi (9, 2019) أن تقنية القلي بالهواء يجب أن تكون خالل وقت قصير للمحافظة على لون المنتج ومحتواء القليل من الدهون. حذرت المنظمات والهيئات الدولية من وجود مادة الأكريلاميد ضمن منتجات البطاطا المقلية وأمرت بالحد من تناولها نظراً لمخاطرها على الصحة (Bachir et al., 2022, 1736). لكن على الرغم من خطورة هذه المادة لم تحدد منظمة الغذاء والدواء الأمريكية الحدود المسموح بها من مادة الأكريلاميد ضمن المنتجات الغذائية، لكن اكتفت بتقديم إرشادات للصناعيين للحد من كميات الأكريلاميد ضمن منتجاتهم (Mesias et al., 2021, 1). بينت المفوضية الأوروبية في عام 2017 بأن الحدود العليا المقبولة لمادة الأكريلاميد في رقائق البطاطا المقلية (الشيبس) يجب ألا تتجاوز 750 ميكروغرام/كغ ، وأنزمت المصنعين لهذه المنتجات بتحليل مستويات الأكريلاميد في منتجاتهم وبشكل دوري، وتوثيق الاستراتيجيات الفعالة في التخفيض (European Commission, 2017; Powers et al., 2021, 783). يرتبط قبول المستهلكين للمنتجات المقلية بالهواء الساخن بالخصوصية الحسية لهذه المنتجات، ونظراً لاستقرار معامل إنتاج الشيبس لكميات كبيرة من الزيوت النباتية المستوردة لإنتاج الشيبس بطريقة القلي التقليدية، ولعدم وجود بدائل للزيوت النباتية في عملية القلي التقليدي، فقد هدف هذا البحث إلى دراسة

تأثير درجة الحرارة وزمن القلي بالهواء الساخن في بعض صفات جودة رقائق البطاطا المنتجة من صنف Agria وتحديد ظروف القلي المثلى، وتقييم بعض مؤشرات الجودة التصنيعية والحسية للصنف المدروس المستخدم بشكل كبير في تصنيع رقائق البطاطا في سوريا، وذلك لعدم وجود دراسات محلية حول هذه الطريقة.

## 2-مواد وطرائق البحث:

### 2-1- مواد وتجهيزات البحث:

استُخدم في الدراسة بطاطا من صنف Agria المستورد من هولندا، من العروة الصيفية، تم الحصول عليها من أحد المزارعين في المنطقة الجنوبية (مدينة نوى) مع كامل البيانات الزراعية، من حيث الاحتياجات وظروف الزراعة. واستُخدم زيت أولين النخيل ماركة Daynas المستورد من ماليزيا والمتوفر ضمن أسواق مدينة دمشق، كان موافقاً في خصائصه للمواصفة القياسية السورية رقم (3770) تاريخ (2014).

### 2-2- طريقة القلي بالهواء:

أُستخدمت مقالة هواء تجارية ماركة SilverCrest SHF 1400 قابلة للبرمجة من حيث درجات الحرارة والזמן، وفق الطريقة المتبعة من قبل (Santos et al., 2017, 3)، مع بعض التعديلات لتتوافق مع تعليمات الاستخدام للمقالة من قبل الشركة الصانعة وإمكانية تطبيقها صناعياً، إذ أضيف 5 غ من زيت أولين النخيل إلى رقائق البطاطا (500 غ)، وضُبِطَت على درجات الحرارة المطلوبة (165، 175، 185 °م)، ولفترات زمنية (20، 17، 15 دقيقة) على الترتيب، حُدِّدت بناء على نتائج نسبة الرطوبة (أقل من 62%) في العينات المقلية. بينما أجريت عملية القلي التقليدي على درجة حرارة 175 °م لمدة 3 دقائق بواسطة مقالة كهربائية من ماركة star way ذات منشأ كوري ومزودة بمؤقت للحرارة والوقت بسعة 4 ليتر زيت تحت الضغط الجوي العادي. قُلِّلت رقائق البطاطا وفقاً للطريقة المتبعة من قبل (Yu et al., 2016, 213) مع بعض التعديلات، حيث قُطعت درنات البطاطا إلى رقائق بعد غسلها وتنقشيرها بقطر (45) مم وسماكـة ( حوالي 1.2 مم) بواسطة أداة قطع مصنوعة من ستانلس ستيل مضبوطة على هذه السماكـة، ثم غُسلت العينات المقطعة بالماء البارد لعدة مرات لإزالة النشاء الملتصق بسطحها الخارجي، ثم جففت بطريقة النشر على ورق ترشيح قبل البدء بعملية القلي.

### 2-3-الاختبارات الكيميائية:

#### 2-3-1-تقدير المحتوى الرطوبـي:

ُقدر المحتوى الرطوبـي لعينات رقائق البطاطا المقلية وغير المقلية على أساس الوزن الرطب وفقاً للطريقة المتبعة (AOAC, 2005, 1952-1925)، حيث تم تجفيف العينات في فرن كهربائي عادي على درجة حرارة 105 °م (حتى ثبات الوزن). ثم تم حساب

$$\text{الرطوبة المفقودة وفقاً للمعادلة التالية: النسبة المئوية للرطوبة \%} = \frac{\text{وزن الماء في العينة}}{\text{وزن العينة}} \times 100$$

## 2-3-2 تقدير المحتوى من الزيت الممتص:

قدر محتوى رقائق البطاطا من الزيت وفقاً للطريقة المتبعة (AOAC, 2005, 945.16) بطريقة سوكسيلت باستخدام الهاكسان كمنذيب عضوي، وتم تقدير المحتوى من الزيت على أساس الوزن الرطب عن طريق المعادلة التالية:

$$\text{النسبة المئوية لمحتوى من الزيت \%} = \frac{\text{وزن الزيت في العينة}}{\text{وزن العينة}} \times 100$$

## 2-3-3 تقدير البروتين:

قدرت البروتين في رقائق البطاطا الطازجة وفقاً للطريقة المتبعة من (AOAC, 2005, 979.09).

## 2-3-4 تقدير السكريات المرجعية:

قدرت كمية السكريات المرجعية وفقاً لطريقة فهلنخ المعتمدة من (AOAC, 2005, 945.66)

## 2-4- تقدير الاكريلاميد:

قدر محتوى العينات المدروسة من مادة الاكريلاميد وفقاً لطريقة (Muthaiah et al., 2019, 46) مع بعض التعديلات، حيث طحنت العينات (رقائق البطاطا) باستخدام خلاط مولينكس فرنسي الصنع، ثم أخذ 10 غرام من العينة المطحونة وأضيف لها 50مل من الايتيرتولي، ثم كمل من الإيتانول، ثم أضيف 50مل من الايتيرتولي، ورج الخليط لمدة 2 ساعة على درجة حرارة الغرفة، ثلثت العينة بسرعة 3500 دورة في الدقيقة لمدة 20 دقيقة على درجة حرارة 15 م°، تم التخلص من السائل الطافي المحتوى على الدهن، ثم جففت العينة منزوعة الدهن بواسطة فرن تجفيف تحت التفريغ على درجة حرارة 40 م°. لاستخلاص مادة الاكريلاميد أضيف 40 مل من الأسيتون إلى العينة المجففة و 1 مل ماء مقطر منزوع الشوارد، ثم وضعت في جهاز رجاج لمدة 30 دقيقة، ثم وضعت العينة في حمام مائي ضمن جهاز الأمواج فوق الصوتية على درجة حرارة 40م° ولمدة 20 دقيقة، ثلثت العينة بسرعة 3000 دورة في الدقيقة لمدة 25 دقيقة على درجة حرارة 15 م°، أخذ السائل الطافي وتمت فلترته بواسطة فلتر قطره 0.45 ميكرومتر. حملت العينة المفلترة على الطور الصلب ضمن مصيدة الاستخلاص والمكونة من 1 غرام من الكربون، نشط الطور الصلب بإضافة 6 مل من الاسيتونترييل ثم 6 مل من الماء المقطر المنزوع الشوارد، بعد تمرير العينة ضمن مصيدة الاستخلاص، مرر 10 مل من الاسيتونترييل و 2 مل من الطور المتحرك (3:2 ماء منزوع الشوارد: أسيتونترييل) ضمن المصيدة، ثم بُخِر الناتج لحجم 500 ميكروليتر، وحقن 20 ميكروليتر ضمن جهاز HPLC. كُشف عن الاكريلاميد باستخدام جهاز HPLC باستخدام عمود نوع ODSA (250 x 4.6 mm, 5μm) وطور متحرك مؤلف من 40% ماء مقطر منزوع الشوارد و 60% أسيتونترييل، بمعدل تدفق 0.8 مل/دقيقة، وكاشف UV-PDA بطول موجة 210 نانوميتر، وحجم الحقلة 20 ميكروليتر. كما وحضرت سلسلة عيارية للأكريلاميد من مجموعة من المحاليل القياسية للاكريلاميد وفقاً للتراكيز التالية: 0.5، 1، 1.5، 2 و 2.5 ppm، ثم حدد التركيز الأدنى للأكريلاميد والذي يمكن الكشف عنه بواسطة جهاز HPLC من خلالأخذ 10 قراءات للتركيز 0.05 ppm، ثم تطبق المعادلة: الحد الأدنى للكشف = الانحراف المعياري \* 3.3 وفق (Yadav and Verma, 2022, 466). قيس معدل الانخفاض في نسبة الاكريلاميد عن طريق المعادلة التالية: معدل الانخفاض = (متوسط كمية الاكريلاميد المتشكلة ضمن العينات المقلية بالطريقة

التقليدية - متوسط كمية الاكريلاميد المتشكلة ضمن العينات المقلية بطريقة الهواء الساخن) / كمية الاكريلاميد المتشكلة ضمن العينات المقلية بالطريقة التقليدية\* 100.

## 2-5- الاختبارات الفيزيائية:

### 2-5-1- قياس المؤشرات اللونية:

قدر المؤشرات اللونية لرقائق البطاطا باستخدام الجهاز اللوني Colorimeter 3nh من نوع NR-200 بعد المعاییرة بالقرص الأبيض ووضعت العينات ضمن خلايا زجاجية بسمك 1.5 سم وقيس القيم اللونية بالجهاز على ارتفاع 7.5 سم وضبط الارتفاع بواسطة الفراغ الرأسي المضبوط وفق تصميم الجهاز. كررت عمليات القياس لكل عينة ثلاثة مرات وأخذت القيم المتوسطة للقراءات، وعبر عن النتيجة وفق قيم  $(L^*, a^*, b^*)$  حيث يشير مكون  $(L^*)$  إلى درجة السطوع Lightness وتتراوح قيمته ما بين (0-100)، ويشير مكون  $(a^*)$  إلى الدرجة اللونية الواقعة ما بين اللونين الأخضر والأحمر، ويشير مكون  $(b^*)$  إلى الدرجة اللونية الواقعة ما بين اللونين الأزرق والأصفر وتتراوح قيمة كل من هذين المكونين اللونيين (- 120 ، 120+). بينما قيست قيمة كل من تغير اللون  $\Delta E$  ومعامل الاسمرار BI حسابياً وفق المعادلات (1) و(2) المقدمة من قبل (Boroujeni and Hojjatoleslami, 2018, 1012) كما يلي:

$$(1) \quad BI = [(100^*(X-0.31))/0.17] : X = (at^* + 1.75L^*) / (5.645L^* + a0^* - 3.012bt^*)$$

$$(2) \quad \Delta E = [(L_0^* - L_t^*)^2 + (a_0^* - a_t^*)^2 + (b_0^* - b_t^*)^2]^{0.5}$$

### 2-5-2- تقدير قوة الكسر:

أجري اختبار التقدير بواسطة جهاز Brookfield CT3 Texture Analyzer لتقدير قوة الكسر، وفق الطريقة الموصوفة من قبل (Boroujeni and Hojjatoleslami, 2018, 1010)، مع التعديل باستخدام مسبر ستانلس ستيل P-SA/SD المتوفر، تم وضع شريحة واحدة من البطاطا لكل معاملة على حامل العينة، ثم أجري اختبار طرق (puncture) ذو دورة واحدة، عن طريق تثبيت سرعة الاختبار عند 4.6 ملم/ثانية؛ والسماح للمسبر بالارتحال (travel) في العينات حتى كسر الرقاقة. عبر عن النتيجة بوحدة غرام وفقاً للدليل استخدام الجهاز و(Boroujeni and Hojjatoleslami, 2018, 1010).

### 2-5-3- قياس معامل الانكمash:

تم قياس معامل الانكمash لرقائق البطاطا وفقاً للطريقة المذكورة من قبل (Supmoon and Noomhorm, 2013, 26) وحسب بتطبيق القانون التالي:

$$\%S_v = \frac{V_0 - V_t}{V_0} \times 100$$

- حيث  $S_v$  هي معامل الانكمash الحجمي.  $V_0$  حجم العينة (m<sup>3</sup>) قبل القلي.  $V_t$  (m<sup>3</sup>) حجم العينة عند الزمن (t) قلي. ويعطي  $V$  بالقانون  $L = \frac{\pi \times D \times d}{4}$ . حيث: (D) هو القطر الأعظمي قبل القلي، (d) هي القطر عند الزمن (t)، و (L) هي الثخانة وتقدر كل الرموز السابقة ب (m) والزمن بالدقيقة. اخذت 3 مكررات في كل زمن لكل عينة من العينات المدروسة.

**2-6- اختبار التقييم الحسي:**

أجري التقييم الحسي لرقائق البطاطا المقلية وفق مقياس هيدونيك ذو التسع نقاط Hedonic-9-points scale مع بعض التعديل والذي يتراوح من (9 = أحب بشدة إلى 1 = لا أحب بشدة) وذلك لصفات اللون Color والنكهة Flavor والفرميشن crunching ودرجة القبول الكلي Overall acceptability وذلك من قبل لجنة ملوفة من عشرة أشخاص ذوي خبرة متوسطة في عملية التقييم الحسي. واعتبرت درجة قبول 5.5 فما فوق مقبولة وفق (Birol et al., 2015, 559).

**2-7- التحليل الإحصائي:**

أخضعت البيانات المتحصل عليها من التجارب لاختبار تحليل التباين ANOVA لتحديد الفروقات المعنوية وفق أقل فرق معنوي LSD عند مستوى 5% بين مؤشرات الجودة المختلفة تبعاً للمعاملات الأولية المطبقة، وعبر عن النتائج بالمتوسط الحسابي  $\bar{X} \pm$  الانحراف المعياري SD باستخدام برنامج SPSS الإصدار 25.

**3- النتائج والمناقشة:****3-1- المؤشرات الكيميائية ومؤشرات اللون لعينات رقائق البطاطا الطازجة:**

يظهر الجدول رقم (1) المؤشرات الكيميائية ومؤشرات اللون لعينات رقائق البطاطا الطازجة، حيث بلغت قيمة المحتوى المائي لرقائق البطاطا الطازجة والمعدة للقلي من صنف (Agria) 77.05%， وقيمة المادة الجافة 22.95%， وكانت نسبة الدهن والسكريات المرجعة والبروتين 0.29، 0.85، 0.29 على التوالي، وتوافق هذه النتائج مع ما توصل إليه (Basuny, 2009, 196) الذي بين في دراسته لأصناف عديدة من البطاطا المعدة لصناعة الشيبس أن المحتوى المائي تراوحت ضمن الأصناف المدروسة ما بين 75.53-83.72%， والبروتين 1-2.73%， والدهن 0.25-0.39% والسكريات المرجعة 0.32-1.11%. أما بالنسبة للمؤشرات اللونية بلغت قيمة مؤشرات اللون  $L^*$  78.23 و 10.69 و 2.26 و a<sup>b</sup> و b<sup>a</sup>. تقارب نتائجنا من نتائج (Fradinho et al., 2020, 5).

**الجدول (1): المؤشرات الكيميائية ومؤشرات اللون لعينات رقائق البطاطا الطازجة**

المؤشرات اللونية المدروسة			البروتين %	السكريات % المرجعة	الدهن %	المادة الجافة %	المحتوى المائي %	المؤشرات المدروسة
a*	b*	L*						
2.26±0.12	10.69±0.56	78.23±1.23	1.46±0.08	0.85±0.05	0.29±0.01	22.95±1.03	77.05±1.03	رقائق البطاطا الطازجة

تمثل القيم في الجدول المتوسط الحسابي  $\bar{X} \pm$  الانحراف المعياري لثلاثة مكررات (N=3).

قدرت المؤشرات المدروسة (الرطوبة، المادة الجافة، الدهن، البروتين والسكريات المرجعة) على أساس الوزن الرطب

**3-2- المحتوى الرطوي والزيت الممتص:**

يوضح الجدول (2) نتائج المحتوى الرطوي والزيت الممتص لرقائق البطاطا المقلية بطرق القلي التقليدي والقلي بالهواء الساخن، حيث لوحظ انخفاض قيم المحتوى المائي لرقائق البطاطا المقلية بالهواء الساخن باختلاف درجة حرارة القلي وزمنه، لكن لم يكن

لهذا الانخفاض أي دلالة إحصائية، ربما يعود السبب في ذلك للتحكم الدقيق بزمن القلي وضمان وصول العينات لدرجة المحتوى المائي النهائية بشكل متساوي. بلغ محتوى الماء في رقائق البطاطا 1.88، 1.87% عند القلي بالهواء الساخن على درجة حرارة 165، 175، 185 °م على الترتيب، بينما كانت لعينة القلي التقليدي 1.89%， توافق نتائجنا مع المواصفة القياسية السورية رقم (889) تاريخ (2016)، والتي حددت المحتوى المائي ضمن عينات الشيبس بنسبة لا تتجاوز 2%， كما وتتوافق ذلك مع ما أشار إليه (Abd Rahman et al., 2016, 5) في دراسته لرقائق البطاطا والتي تراوحت فيها نسبة المحتوى المائي بين 1.23-2.13% مع تغير درجة حرارة القلي وزمنه، وفسر انخفاض المحتوى المائي خلال القلي بالهواء بتسخين المنتجات في نظام مغلق حيث يتم نقل الحرارة بالحمل الحراري، مما يسبب فقدان الماء غير المقيد السطحي والداخلي. بينما لوحظ من الجدول (1) نفسه، انخفاض محتوى الزيت لرقائق البطاطا مع زيادة حرارة القلي وزمنه وبشكل معنوي عند مستوى ثقة ( $P \geq 0.05$ )، حيث بلغ محتوى الزيت في رقائق البطاطا 1.45، 1.16، 1.13% عند القلي بالهواء الساخن على درجة حرارة 165، 175، 185 °م على الترتيب، بين (Ziaifar et al., 2010, 198) أن درجات الحرارة المنخفضة أثناء القلي تؤدي لانخفاض سرعة تبخر الرطوبة من العينة، مما يؤدي لن تكون قشرة ذات بنية تسمح ب النفاذ للداخل العينة خلال مراحل القلي. كانت كمية الزيت 32.21% لعينة القلي التقليدي، توافق هذه النتائج مع المواصفة القياسية السورية رقم (889) تاريخ (2016) التي أظهرت بأن الحد المسموح فيه لنسبة الدهون (الزيت الممتص) ضمن شيبس البطاطا (35% على أساس الوزن الرطب)، وتقارير نتائجنا مع ما أشار إليه (Teruel et al., 2015, E352) حيث تراوحت فيها نسبة الزيت بين 1.12-0.37%， بينما سجل (Abd Rahman et al., 2016, 4) نسبة أعلى للزيت الممتص كانت بين 12.66-1.24%， مع اختلاف درجات حرارة القلي بالهواء وزمنه.

الجدول (2): المحتوى الرطبوبي والزيت لرقائق البطاطا المقلية بطريقتي القلي التقليدي والقلي بالهواء الساخن

L.S.D	185	175	165	175	درجة حرارة القلي بالهواء م
					المحتوى الرطبوبي %
0.19	1.87 <sup>a</sup> ±0.02	1.88 <sup>a</sup> ±0.03	1.9 <sup>a</sup> ±0.04	1.89 <sup>a</sup> ±0.05	
0.27	1.13 <sup>c</sup> ±0.02	1.16 <sup>c</sup> ±0.03	1.45 <sup>b</sup> ±0.04	32.21 <sup>a</sup> ±1.84	محتوى الزيت الممتص %

تعبر النتائج عن المتوسط ± الانحراف المعياري لثلاثة مكررات.

تشير الأحرف المختلفة إلى وجود فروق معنوية ضمن السطر الواحد عند مستوى ثقة ( $P \geq 0.05$ )

### 3-المؤشرات اللونية:

يبين الجدول (3) نتائج المؤشرات اللونية لرقائق البطاطا المقلية بطريقتي القلي التقليدي والقلي بالهواء الساخن، والتي تعبر عن قيم السطوع \*L، والاحمرار \*a، والاصفارار \*b. بعد فقدان الماء وامتصاص الزيت نتيجة لانتقال الحرارة والكتلة من أهم مسببات التغيرات اللونية، وخاصة بالنسبة لدرجة السطوع \*L، حيث انخفضت قيمة المؤشر اللوني \*L لرقائق بطاطا المقلية بالهواء مع زيادة درجة حرارة القلي، فبلغت درجة السطوع \*L في رقائق البطاطا 76.14، 74.71، 73.93 عند القلي بالهواء على درجة حرارة 165، 175، 185 °م على الترتيب، وأشارت دراسات (7 ; Santos et al., 2017, 68 ; Mokhtar et al., 2022) إلى انخفاض قيمة \*L لرقائق بطاطا المقلية بالهواء مع زيادة درجة حرارة القلي وزيادة زمن القلي. بينما كانت قيمة \*L 72.65 لعينة القلي التقليدي، وتوافق هذه النتائج مع ما أشار إليه (Dong et al., 2022, 10) حيث إن البطاطا المقلية بالهواء تتميز بقيم أعلى لكل من \*L و\*b، وتتميز بمعامل اسمرار ولون أصفر ذهبي أقوى مقارنة بالقلي التقليدي عند نفس درجة الحرارة، كما وأشار Fang et al., (2023,3) إلى أن قيمة \*L التي تعتبر أهم مؤشر لوني للأغذية المقلية، تتحفظ خلال عملية القلي بالمقارنة مع المادة الخام

(الرقائق الطازجة)، ولكنها كانت أعلى عند استخدام تقنية القلي بالهواء بالمقارنة مع القلي التقليدي، إذ يساعد امتصاص زيت القلي في تكوين صبغة الميلانوين من خلال تفاعل ميلارد، مما يخفض قيمة \*L عند القلي التقليدي. أظهرت النتائج ارتفاع درجة الاصفارار \*b لرقائق البطاطا المقلية بصورة معنوية مع زيادة درجة حرارة القلي بالهواء، وكانت درجة الاصفارار \*b في رقائق البطاطا 22.62، 25.03، 26.16 عند القلي بالهواء على درجة حرارة 165، 175، 185 °م على الترتيب، بينما كانت 28.97 لعينة القلي التقليدي. توافقت هذه النتائج مع (Dong et al., 2022, 10)، وأشار Sansano وآخرون (2015, T1123) إلى ارتفاع قيمة المؤشر \*b بزيادة درجة حرارة القلي بالهواء، ويفضل أن تكون قيمة \*b أكبر من 10 لرقائق البطاطا. بالنسبة لمؤشر الاحمرار \*a، فقد ازدادت قيمة \*a بزيادة درجة حرارة القلي زيادة غير معنوية بين درجتي الحرارة 165 و175 °م بينما كانت الزيادة معنوية بين درجتي الحرارة 165 و185 °م، إذ بلغت قيم المؤشر اللوني \*a، 3.73، 3.99، 4.26 عند درجة حرارة 165، 175، 185 °م على الترتيب، بينما كانت لعينة القلي التقليدي 5.93، وقد فسر Sansano وآخرون (2015, T1123) الاختلافات في درجات الاحمرار بين العينات المقلية بالهواء الساخن والقلي التقليدي، أن تفاعل ميلارد أسرع بكثير للقلي التقليدي من القلي بالهواء، بسبب الاختلافات بين التقنيتين من حيث انتقال الحرارة والكتلة، حتى لو كانت درجة حرارة وسط القلي (هواء أو زيت) متساوية في كلا الحالتين. بلغت قيمة  $\Delta E$  لرقائق البطاطا 12.12، 14.87، 16.35 عند القلي بالهواء على درجة حرارة 165، 175، 185 °م على الترتيب، بينما كانت لعينة القلي التقليدي 17.42، وكانت هذه النتائج متوافقة مع التي وجدتها (Dong et al., 2022, 6)، في أصابع البطاطا المقلية بالهواء، وأشار إلى ارتفاع قيمة  $\Delta E$  بزيادة درجة حرارة القلي وزمنه. كذلك أكد Azmi وآخرون (2019, 4623) أن زيادة درجة الحرارة والזמן أدت إلى زيادة تغيير اللون الكلي للمخبوزات المقلية بالهواء. كان مؤشر الاسمرار BI في عينات رقائق البطاطا 38.15، 43.87، 47.67 عند القلي بالهواء على درجة حرارة 165، 175، 185 °م على الترتيب، ويفسر سبب اختلاف قيمة الاسمرار باختلاف قيمة كل من المؤشرين \*L، \*b، بينما كانت قيمته 51.44 لعينة القلي التقليدي، وتتوافقت نتائجنا مع Zaghi وآخرون (Sansano et al., 2015, T1123; Dong et al., 2022, 10) إلى أن عملية القلي بالهواء تتطلب زمن معالجة أطول بكثير للحصول على اللون المميز لرقائق البطاطا الناتجة عن القلي العميق، ويؤثر لون البطاطا بشكل كبير في قبول المنتجات المقلية أو رفضها من قبل المستهلك، ويتعلق اللون بدرجة الحرارة القلي وزمنه وحجم العينة.

الجدول (3): المؤشرات اللونية لرقائق البطاطا المقلية بطريقتي القلي التقليدي والقلي بالهواء الساخن

L.S.D	185	175	165	تقليدي 175	حرارة القلي بالهواء °م
0.74	73.93 <sup>c</sup> ±1.44	74.71 <sup>b</sup> ±1.31	76.14 <sup>a</sup> ±1.49	72.65 <sup>d</sup> ±1.85	درجة السطوع *L*
1.33	26.16 <sup>b</sup> ±1.11	25.03 <sup>b</sup> ±1.15	22.62 <sup>c</sup> ±1.01	28.97 <sup>a</sup> ±1.05	درجة الاصفارار *b*
0.57	4.26 <sup>c</sup> ±0.5	3.99 <sup>bc</sup> ±0.39	3.63 <sup>b</sup> ±0.5	5.93 <sup>a</sup> ±0.48	مؤشر الاحمرار *a*
1.06	16.35 <sup>b</sup> ±0.74	14.87 <sup>c</sup> ±1.01	12.12 <sup>d</sup> ±0.81	17.42 <sup>a</sup> ±1.02	التغير الكلي في اللون $\Delta E$
2.91	47.67 <sup>b</sup> ±1.39	43.87 <sup>c</sup> ±1.74	38.15 <sup>d</sup> ±1.67	51.44 <sup>a</sup> ±1.89	مؤشر الاسمرار BI

تعبر النتائج عن المتوسط ± الانحراف المعياري لثلاثة مكررات.

تشير الأحرف المختلفة إلى وجود فروق معنوية ضمن السطر الواحد عند مستوى ثقة ( $P \geq 0.05$ ).

**4-3-فوة الكسر :**

يظهر الجدول (4) نتائج فوة الكسر لرائق البطاطا المقلية بطريقتي القلي التقليدي والقلي بالهواء الساخن. يتميز قوام المنتجات المقلية بشكل أساسى بنكوبين قشرة سطحية، والتي تعد المعلمة الأكثـر تقديرـاً من قبل المستهلكين. يحدث أثناء القلي بالهواء الساخن اكتساب الصلاـبة بطريقـة متدرجـة مع الزـمن، إذ أكد Heredia وآخرون (2014, 758) أن تشكـل القـشرـة في البطـاطـا المـقلـية بالطـرـيقـة التقـلـيدـيـة يـحدـث مـنـذـ الـلحـظـةـ الأولىـ لـعـمـلـيـةـ القـلـيـ، يـعودـ ذـلـكـ إـلـىـ مـعـدـلـ التـبـخـرـ المـرـقـعـ مـقـارـنـةـ بـالـقـلـيـ فـيـ الـهـوـاءـ السـاخـنـ، بـيـنـماـ عـنـ القـلـيـ بـالـهـوـاءـ السـاخـنـ يـتـأـخـرـ تـشـكـلـ القـشـرـةـ حـيـثـ تـظـهـرـ عـيـنـاتـ رـقـائـقـ الـبـطـاطـاـ 182.33، 175.19، 160.92 غـ عـنـ القـلـيـ بـالـهـوـاءـ عـلـىـ درـجـةـ حرـارـةـ 165، 175، 185 مـ عـلـىـ التـرـتـيبـ، بـيـنـماـ كـانـتـ لـعـيـنـةـ القـلـيـ التقـلـيدـيـ 300.81 غـ، تـراـوـحـتـ فـوـةـ الـكـسـرـ التـيـ وجـدـهـاـ Ngobese وآخـرونـ (2017,516) بـيـنـ 69.31 وـ 224.33 غـ، فـيـ درـاسـةـ أـحـرـاـهـاـ عـلـىـ اـصـابـعـ الـبـطـاطـاـ المـقـلـيةـ بـالـهـوـاءـ. تـزـادـ الصـلـاـبةـ مـعـ زـيـادـ زـمـنـ القـلـيـ المـطـبـقـ عـنـ استـخـدـامـ درـجـاتـ حرـارـةـ مـنـخـضـةـ، وـرـبـماـ يـعـودـ ذـلـكـ إـلـىـ التـغـيـرـاتـ الـهـيـكـلـيـةـ فـيـ بـنـيـةـ عـيـنـاتـ مـاـ يـؤـدـيـ إـلـىـ زـيـادـ الـمـقاـوـمـةـ فـيـ تـكـسـرـ الـعـيـنـةـ. وـفـقـاـ لـمـاـ ذـكـرـهـ Karizaki وآخـرونـ (2013, 3562)، هـنـاكـ مـرـحلـاتـ مـنـ التـغـيـرـاتـ فـيـ الصـلـاـبةـ أـثـاءـ عـلـيـةـ القـلـيـ، تـشـيرـ قـيـمـةـ الصـلـاـبةـ الـمـنـخـضـةـ فـيـ مـرـحـلـةـ القـلـيـ الـأـوـلـيـ إـلـىـ ثـلـيـثـ أـنـسـجـةـ الـعـيـنـةـ التـيـ نـشـأـتـ عـنـ ذـوـيـانـ الصـفـيـحةـ الـوـسـطـىـ وـتـهـلـمـ النـشـاءـ، بـيـنـماـ يـؤـدـيـ تـكـوـنـ القـشـرـةـ وـزـيـادـةـ مـقاـوـمـةـ الـأـنـسـجـةـ إـلـىـ تـصـلـبـ القـشـرـةـ التـدـريـجيـ بـعـدـ زـمـنـ أـطـولـ مـنـ القـلـيـ. وـضـحـ Salvador وآخـرونـ (2009, 767) أـنـ الـدـرـاسـاتـ السـابـقـةـ عـلـىـ قـوـامـ رـقـائـقـ الـبـطـاطـاـ المـقـلـيةـ تـنـاوـلـتـ بـعـضـ الـعـوـافـمـ التـيـ تـؤـثـرـ عـلـىـ القـوـامـ مـثـلـ صـنـفـ الـبـطـاطـاـ وـمـحـتـوىـ النـشـاءـ، وـدـرـجـةـ حرـارـةـ زـيـتـ القـلـيـ وـنـوـعـهـ، وـذـكـرـ أـنـ تـأـثـيرـ الـعـوـافـمـ الـمـسـبـقةـ لـرـفـعـ مـحـتـوىـ الـزـيـتـ فـيـ عـيـنـاتـ رـقـائـقـ اـنـعـكـسـ سـلـبـاـ عـلـىـ الـخـصـائـصـ الـحـسـيـةـ الـمـقـرـمـشـةـ. بـيـنـماـ وـجـدـ عـلـاقـةـ إـيجـابـيـةـ بـيـنـ الـخـاصـيـةـ الـمـقـرـمـشـةـ وـالـقـوـةـ مـطـبـقـةـ لـلـكـسـرـ (Salvador et al., 2009, 766). بـيـنـ Granda وآخـرونـ (2004, E409) أـنـ فـوـةـ الـكـسـرـ لـرـقـائـقـ الـبـطـاطـاـ المـقـلـيةـ بـالـطـرـيقـةـ الـتـقـلـيدـيـةـ تـنـاوـحـ بـيـنـ 213.76 وـ 305.37 غـ وـذـلـكـ بـحـسـبـ الصـنـفـ وـالـسـماـكـةـ.

**الجدول (4): فـوـةـ الـكـسـرـ لـرـقـائـقـ الـبـطـاطـاـ المـقـلـيةـ بـطـرـيقـتـيـ القـلـيـ التقـلـيدـيـ وـالـقـلـيـ بـالـهـوـاءـ**

L.S.D	185	175	165	تقليدي 175	حرارة القلي بالهواء م
					فـوـةـ الـكـسـرـ (غـ)
5.65	160.92 <sup>d</sup> ±2.67	175.19 <sup>c</sup> ±2.98	182.33 <sup>b</sup> ±3.74	300.81 <sup>a</sup> ±5.41	

تعبر النتائج عن المتوسط ± الانحراف المعياري لثلاثة مكررات.

تشير الأحرف المختلفة إلى وجود فروق معنوية ضمن السطر الواحد.

**5-تحديد معامل الانكمash الحجمي:**

يظهر الجدول رقم (5) قيم معامل الانكمash الحجمي لرائق البطاطا المقلية بظروف القلي بالهواء، حيث أظهرت نتائج التحليل الاحصائي نفوق العينات المقلية بالهواء الساخن عند كل درجات الحرارة المدروسة على عينة القلي التقليدي، التي بلغت فيها قيمة معامل الانكمash الحجمي 22.96% تواافق النتائج مع (Mohan et al., 2017,14). كما لوحظ من النتائج انخفاض قيمة معامل الانكمash بارتفاع درجة حرارة القلي، ربما يعود السبب في ذلك إلى كبر حجم المسام المشكلة أثناء القلي بارتفاع درجة الحرارة،

مما أدى لانخفاض قيمة معامل الانكمash (Supmoon and Noomhorm, 2013, 28) بلغت قيمته في العينات المقلية بالهواء الساخن عند درجة حرارة 165، 175، 185 و 14.69 على الترتيب.

الجدول (5): معامل الانكمash الحجمي لرائق البطاطا المقليّة بطريقتي القلي التقليدي والقلي بالهواء الساخن

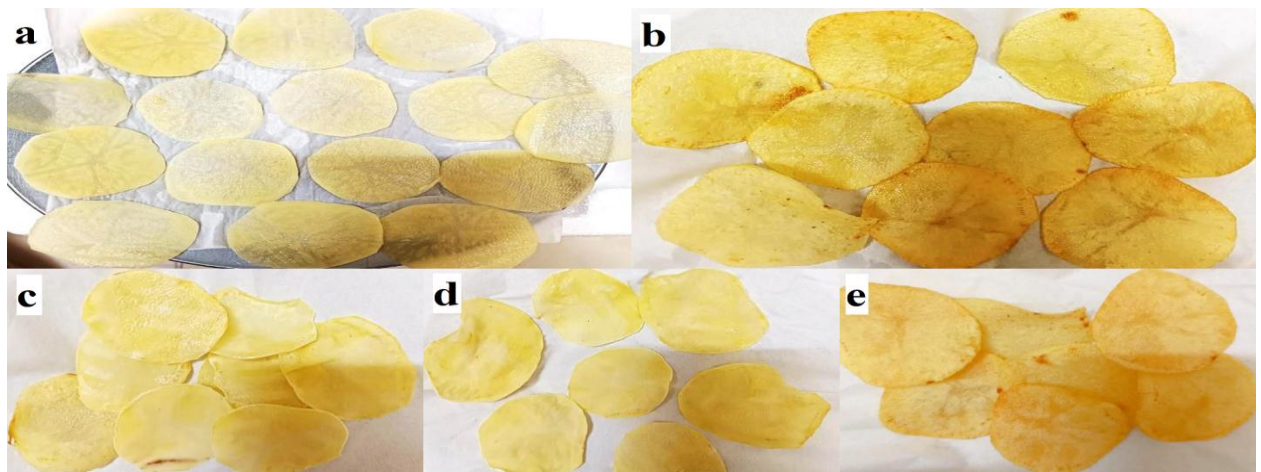
L.S.D	185	175	165	تقليدي 175	حرارة القلي بالهواء °م
1.5	14.26 <sup>d</sup> ±0.85	16.85 <sup>c</sup> ±1.08	20.03 <sup>b</sup> ±1.23	22.96 <sup>a</sup> ±1.46	معامل الانكمash الحجمي %

\*تعبر النتائج عن المتوسط ± الانحراف المعياري لثلاثة مكررات.

\* تشير الأحرف المختلفة إلى وجود فروق معنوية ضمن السطر الواحد.

### 3-6-التقييم الحسي:

يوضح الجدول (6) نتائج التقييم الحسي لرائق البطاطا المقليّة بطريقتي القلي التقليدي والقلي بالهواء الساخن، حيث تشير نتائج التقييم الحسي إلى تفوق العينة المقليّة بالطريقة التقليدية عند الدرجة 175 °م بصورة معنوية، على العينات المقليّة بالهواء الساخن، بالنسبة للنكهة والقرمشة والقبول العام بقيم بلغت وفقاً لرأي المتذوقين 8.4، 9 و 8.3 على الترتيب، توافقت هذه النتائج مع (Rois Anwar et al., 2019, 60) حيث حصلت العينات المقليّة بالطريقة التقليدية على أعلى درجة لمؤشرات التقييم الحسي المدروسة. أظهرت نتائج التحليل الإحصائي تفوق العينات المقليّة بالهواء الساخن عند الدرجة 175 °م على العينات الأخرى من حيث اللون بقيمة بلغت 8.8. وأشار Teruel وآخرون (2015, E356) في دراسته حول البطاطا المقليّة بالهواء الساخن إلى وجود اختلافات من الناحية الحسية على مستوى الرائحة والقوام، بينما لم تظهر فروق معنوية على مستوى اللون والمظهر. أما بالنسبة لعينات رائق البطاطا المقليّة بالهواء عند الدرجة 165 °م، فقد انخفضت درجة القبول العام إلى 6.3، وكانت درجة التقييم الحسي للون 8.1، بينما بلغت 5.6 للنكهة، و 8.1 للقرمشة، ويعود انخفاض القبول العام إلى ضعف تطور النكهة -نتيجة لغياب النكهة الزيتية المميزة لرائق الشيس التقليدية- والقرمشة بالمقارنة مع عينات القلي التقليدي، بين (Cutin et al., 2021, 9) أن درجة حرارة القلي بالهواء الساخن تلعب دوراً إيجابياً مهما في قرمصة رائق البطاطا ولكن إلى حد معين ثم تبدأ بالانخفاض. بينما كانت العينات المقليّة بالهواء عند الدرجة 185 °م، تمتلك أدنى درجة للقبول العام حيث بلغت 7.2، وبلغت درجة اللون 8.2، بينما بلغت درجة التقييم الحسي للنكهة 5.5 والقرمشة 7.9. يعود الانخفاض في القبول العام إلى غياب النكهة الزيتية، على الرغم من أن القوام الزيتى غير مرغوب في الرائق المقليّة، إلا أن امتصاص البطاطا للزيت في القلي التقليدي يزود المنتج بقشرة سطحية جافة وهشة، بسبب ارتفاع درجات الحرارة التي تبخر الماء في المنطقة السطحية مما يعيق جلنته النشاء فيها ويسهل النكهة المميزة للمنتجات المقليّة (Cutin et al., 2021, 9; Santos et al., 2017, 9). وربما يعود تفوق العينات المقليّة عند درجة حرارة 175 °م باللون لملايين هذه الحرارة لون المرغوب لرائق البطاطا بالنسبة للمتنوّقين والخاصّة بالصنف المدروّس. ويبين الشكل رقم (1) صور لعينات الطازجة والعينات المقليّة.



الشكل (1): صور رقائق البطاطا الطازجة والمقلية

a عينات رقائق البطاطا الطازجة، b عينة رقائق البطاطا المقلية بالطريقة التقليدية  $175\text{ }^{\circ}\text{C}$ ، c رقائق البطاطا المقلية بالهواء الساخن  $165\text{ }^{\circ}\text{C}$ ، d رقائق البطاطا المقلية بالهواء الساخن  $175\text{ }^{\circ}\text{C}$  e رقائق البطاطا المقلية بالهواء الساخن  $185\text{ }^{\circ}\text{C}$

الجدول (6): التقييم الحسي لرقائق البطاطا المقلية بطريقتي القلي التقليدي والقلي بالهواء الساخن

L.S.D	185	175	165	تقليدي 175	حرارة القلي بالهواء $^{\circ}\text{C}$
0.53	$8.2^{\text{b}} \pm 0.6$	$8.8^{\text{a}} \pm 0.4$	$8.1^{\text{b}} \pm 0.3$	$7.4^{\text{c}} \pm 0.5$	اللون
0.71	$5.5^{\text{b}} \pm 0.5$	$5.9^{\text{b}} \pm 0.1$	$5.6^{\text{b}} \pm 0.4$	$8.4^{\text{a}} \pm 0.1$	النكهة
0.15	$7.9^{\text{d}} \pm 0.8$	$8.4^{\text{b}} \pm 0.4$	$8.1^{\text{c}} \pm 0.1$	$9^{\text{a}} \pm 0.0$	الفرمضة
0.35	$7.2^{\text{c}} \pm 0.4$	$7.7^{\text{b}} \pm 0.3$	$7.3^{\text{c}} \pm 0.3$	$8.3^{\text{a}} \pm 0.4$	القبول العام

تعبر النتائج عن المتوسط  $\pm$  الانحراف المعياري لثلاثة مكررات.

تشير الأحرف المختلفة إلى وجود فروق معنوية ضمن السطر الواحد.

### 7-تقدير نسب الأكريلاميد:

بلغ الحد الأدنى للأكريلاميد الذي يمكن الكشف عنه بجهاز HPLC 4.65 ميكروغرام/كغ، وكانت نسبة الاسترداد 98.69% حيث تعتبر هذه النسبة جيدة وهي أفضل من النسبة المتحصل عليها من (Hasan et al., 2022, 4) وقاربت نتائجنا مع (Muthaiah et al., 2016,530: Arabi et al., 2019,49). يبين الجدول (6) نتائج الأكريلاميد لرقائق البطاطا المقلية بطريقتي القلي التقليدي والقلي بالهواء الساخن. كانت نسبة الأكريلاميد في رقائق البطاطا (231.17، 208.91، 251.89) ميكروغرام/كغ عند القلي بالهواء على درجة حرارة  $165\text{ }^{\circ}\text{C}$ ،  $175\text{ }^{\circ}\text{C}$ ،  $185\text{ }^{\circ}\text{C}$  على الترتيب، حيث تفوقت العينات المقلية عند درجة حرارة  $175\text{ }^{\circ}\text{C}$  على باقي العينات المدروسة، ربما يعود السبب في ذلك للتدخل الحاصل بين درجة الحرارة وזמן القلي. بينما كانت للعينة المقلية بالقلي التقليدي عند الدرجة  $175\text{ }^{\circ}\text{C}$  895.32 ميكروغرام/كغ تتوافق هذه النتيجة مع (Oroian et al., 2015, 139)، ويبلغ معدل الانخفاض في محتوى

الأكريلاميد 74.18، 76.67، 71.87 % على الترتيب مقارنة بعينة القلي التقليدي. يتأثر محتوى الأكريلاميد ضمن منتجات البطاطا المقلية بالعديد من العوامل من أهمها الصنف والظروف المناخية وعمليات التسميد ومحتواه من السكريات المرجعة والأسبارجين بالإضافة لشروط عملية التخزين وطريقة ودرجة حرارة القلي وزمنه (Khalaf et al., 2015, 212) وتقارب النتائج مع ما وجد (Al Oatibi and Basuny, 2016, 106) حيث بلغت نسبة الانخفاض في الأكريلاميد عند القلي بالهواء بنسبة 73.1%， بينما وجد (Sansano et al., 2015, T1126) انخفاضاً بنسبة 67%.

الجدول (7): محتوى الأكريلاميد لرقائق البطاطا المقلية بطريقتي القلي التقليدي والقلي بالهواء الساخن

L.S.D	185	175	165	تقليدي 175	حرارة القلي بالهواء °م
20.8	251.89 <sup>b</sup> ±6.97	208.91 <sup>d</sup> ±5.97	231.17 <sup>c</sup> ±5.62	895.32 <sup>a</sup> ±19.3	محتوى الأكريلاميد (ميكرограм/كغ)
-	71.87	76.67	74.18	-	معدل الانخفاض %

تعبر النتائج عن المتوسط ± الانحراف المعياري لثلاثة مكررات

تشير الأحرف المختلفة إلى وجود فروق معنوية ضمن السطر الواحد

#### 4- الاستنتاجات والتوصيات:

##### 4-1- الاستنتاجات :

- وجد في ظل ظروف التصنيع المدروسة، تفوق العينات المقلية بالهواء الساخن على عينة القلي التقليدي بالنسبة لكمية الزيت الممتض، والأكريلاميد، ومعامل الانكماس الحجمي ومؤشر الاسمرار بالإضافة لبعض الصفات الحسية (اللون)، كما لوحظ أن المعاملة التي أعطت خصائص جودة أفضل لرقائق البطاطا في عملية القلي بالهواء الساخن، كانت عملية القلي بالهواء على الدرجة 175 °م لمدة 17 دقيقة، من حيث بعض المؤشرات الحسية (القبول العام واللون) بقيم بلغت حوالي 7.7 و 8.8 على الترتيب، كما تميزت بانخفاض كمية الأكريلاميد المتشكل ضمنها بالمقارنة مع درجات حرارة القلي المدروسة، حيث كانت الكمية المتشكلة ضمنها 208.91 (ميكرogram/كغ). تفوقت العينات المقلية بالطريقة التقليدية على العينات المقلية بطريقه القلي بالهواء الساخن بمؤشر النكهة ربما يعود السبب في ذلك لغياب النكهة الزيتية للعينات.

##### 4-2- التوصيات :

- توجيهه أنظار الصناعيين إلى طريقة القلي بالهواء الساخن للعمل على تنفيذها بإجراء بعض التعديلات على خطوط الإنتاج لأفران الهواء الساخن كإضافة رذاذ زيت بدلاً من استجرار كميات كبيرة من الزيت للتشغيل بالطريقة التقليدية.
- إجراء دراسات علمية حول طريقة القلي بالهواء الساخن من حيث إمكانية تطبيقها على الأغذية المقلية كأصناف اللحوم المختلفة وأصابع البطاطا والمخبوزات.

#### 5- التمويل :

- هذا البحث ممول من قبل جامعة دمشق وفق رقم الممول .501100020595

**References:**

1. المجموعة الإحصائية الزراعية السنوية.(2022). منشورات مديرية الإحصاء والتخطيط في وزارة الزراعة والإصلاح الزراعي، دمشق، سوريا.
2. المواصفة القياسية السورية (2014). الزيوت النباتية المعدة للطعام، رقم 3770، هيئة المعايير والمواصفات والمقاييس العربية السورية، وزارة الصناعة، دمشق، سوريا.
3. المواصفة القياسية السورية (2016). منتجات البطاطا (الشيبس)، رقم 889، هيئة المعايير والمواصفات والمقاييس العربية السورية، وزارة الصناعة، دمشق، سوريا.
4. Abd Rahman, N. A., Abdul Razak, S. Z., Lokmanalhakim, L. A., Taip, F. S., & Mustapa Kamal, S. M. (2016). Response surface optimization for hot air-frying technique and its effects on the quality of sweet potato snack. *Journal of Food Process Engineering*, 40(4), e12507, 1-8. doi.org/10.1111/jfpe.12507.
5. Andrés, A., Arguelles, A., Castello, M. L., & Heredia, A. (2012). Mass Transfer and Volume Changes in French Fries During Air Frying. *Food and Bioprocess Technology*, 6(8), 1917-1924. doi.org/10.1007/s11947-012-0861-2.
6. AOAC. (2005). Official methods of analysis. AOAC Internationa.
7. Azmi, M. Z. M., Taip, F. S., Mustapa Kamal, S. M., & Chin, N. L. (2019). Effects of temperature and time on the physical characteristics of moist cakes baked in air fryer. *Journal of Food Science and Technology*, 56(10), 4616-4624.doi.org/10.1007/s13197-019-03926-z.
8. Bachir, N., Haddarah, A., Sepulcre, F., & Pujola, M. (2022). Formation, mitigation, and detection of acrylamide in foods. *Food Analytical Methods*, 15(6), 1736-1747.doi.org / 10.1007/ s12161-022-02239-w.
9. Basuny, A. M., Mostafa, D. M., & Shaker, A. M. (2009). Relationship between chemical composition and sensory evaluation of potato chips made from six potato varieties with emphasis on the quality of fried sunflower oil. *World J. Dairy Food Sci*, 4(2), 193-200 ISSN 1817-308X.
10. Basuny, A., & Oatibi, H. (2016). Effect of A Novel Technology (Air and Vacuum Frying) on Sensory Evaluation and Acrylamide Generation in Fried Potato Chips. *Banat's Journal of Biotechnology*, VII, 101-112. DOI: 10.7904/2068-4738-VII(14)-101.
11. Birol, E., Meenakshi, J. V., Oparinde, A., Perez, S., & Tomlins, K. (2015). Developing country consumers' acceptance of biofortified foods: a synthesis. *Food Security*, 7(3), 555-568.doi.org/10.1007/s12571-015-0464-7.
12. Boroujeni, L., Hojjatoleslamy, M., (2018). Using Thymus carmanicus and Myrtus communis Essential Oils to Enhance the Physicochemical Properties of Potato Chips. *Food Science & Nutrition*, 6(4), 1006-1014.doi.org/10.1002/fsn3.597
13. Cao, Y., Wu, G., Zhang, F., Xu, L., Jin, Q., Huang, J., et al. (2020). A Comparative Study of Physicochemical and Flavor Characteristics of Chicken Nuggets during Air Frying and Deep Frying. *Journal of the American Oil Chemists' Society*, 97(8), 901-913. doi.org /10.1002/aocs.12376.
14. Cutin, B., Lauzon, R., & Emnace, I. (2021). Optimization of Air Frying Conditions For the Development of Healthy Banana (*Musa acuminata \* balbisiana Colla*) Chips. *Science and Humanities Journal*, 15, 1-21. DOI:10.47773/shj.1998.151.1.

15. Dong, L., Qiu, C. Y., Wang, R. C., Zhang, Y., Wang, J., Liu, J. M., et al. (2022). Effects of Air Frying on French Fries: The Indication Role of Physicochemical Properties on the Formation of Maillard Hazards, and the Changes of Starch Digestibility. *Frontiers in Nutrition*(2296-861X (Print), 1-12.doi.org/10.3389/fnut.2022.889901.
16. Fang, M.-C., Chin, P.-S.-Y., Sung, W.-C., & Chen, T.-Y. (2023). Physicochemical and Volatile Flavor Properties of Fish Skin under Conventional Frying, Air Frying and Vacuum Frying. *Molecules*, 28(11), 1-14.doi.org/10.3390/molecules28114376.
17. Fradinho, P., Oliveira, A., Domínguez, H., Torres, M. D., Sousa, I., & Raymundo, A. J. I. F. S. (2020). Improving the nutritional performance of gluten-free pasta with potato peel autohydrolysis extract. *Innovative Food Science & Emerging Technologies*, 63, 102374, 1-10. doi.org/10.1016/j;ifset.2020.102374.
18. Giovanelli, G., Torri, L., Sinelli, N., & Buratti, S. (2017). Comparative study of physico-chemical and sensory characteristics of French fries prepared from frozen potatoes using different cooking systems. *European Food Research and Technology*, 243(9), 1619-1631. doi.org /10.1007/s00217-017-2870-x.
19. Granda, C., Moreira, R. G., & Tichy, S. E. (2004). Reduction of acrylamide formation in potato chips by low-temperature vacuum frying. *Journal of food science*, 69(8), E405-E411. doi.org /10.1111/j.1365-2621.2004.tb09903.x.
20. Hasan, G. A., Das, A. K., & Satter, M. A. (2022). Detection of acrylamide traces in some commonly consumed heat-treated carbohydrate-rich foods by GC-MS/MS in Bangladesh. *Heliyon*, 8(10), 1-8. doi: 10.1016/j.heliyon.2022.e11092.
21. Heredia, A., Castello, M. L., Arguelles, A., & Andres, A. (2014). Evolution of mechanical and optical properties of French fries obtained by hot air-frying. *LWT - Food Science and Technology*, 57(2), 755-760.doi.org/10.1016/j.lwt.2014.02.038.
22. Karizaki, V. M., Sahin, S., Sumnu, G., Mosavian, M. T. H., & Luca, A. (2013). Effect of Ultrasound-Assisted Osmotic Dehydration as a Pretreatment on Deep Fat Frying of Potatoes. *Food and Bioprocess Technology*, 6(12), 3554-3563. doi.org/10.1007/s11947-012-1012-5.
23. Liu, Z., Dick, A., Prakash, S., Bhandari, B., & Zhang, M. (2020). Texture Modification of 3D Printed Air-Fried Potato Snack by Varying Its Internal Structure with the Potential to Reduce Oil Content. *Food and Bioprocess Technology*, 13(3), 564-576. doi.org/10.1007/s11947-020-02408-x.
24. Mesias, M., Delgado-Andrade, C., Holgado, F., González-Mulero, L., & Morales, F. J. (2021). Effect of consumer's decisions on acrylamide exposure during the preparation of French fries. Part 2: Color analysis. *Food and Chemical Toxicology*, 154, 112321, 1-10. doi.org /10.1016 /j.fct .2021. 112321.
25. Mohan, C. O., Ninan, G., Zynudheen, A. A., & Ravishankar, C. N. (2017). Air frying Vs oil frying of farmed tilapia (*Oreochromis mossambicus*) steaks. *Fishtech Rep*, 3(1), 14-15. doi.org/10.1007/s11746-016-2943-1.
26. Mokhtar, W. M. F. W., & Zi Yu, T. (2022). Effect of Osmotic Dehydration as a Pre -Treatment on Air Fried Sweet Potato (*Ipomoea batatas*) Chips. *Journal Of Agrobiotechnology*, 13(1S), 64-73. doi. org/10.37231/jab.2022.13.1S.311.
27. Molina-Garcia, L., Santos, C. S. P., Cunha, S. C., Casal, S., & Fernandes, J. O. (2016). Comparative Fingerprint Changes of Toxic Volatiles in Low PUFA Vegetable Oils Under Deep-Frying. *Journal of the American Oil Chemists' Society*, 94(2), 271-284. doi.org/10.1007/s11746-016-2943-1.
28. Muthaiah, P. M., Govindaswamy, A., Semwal, A. D., & Sharma, G. K. (2019). HPLC-UV quantitative analysis of acrylamide in snack foods of India. *Defence Life Science Journal*, 4(1), 45-54. DOI : 10.14429/dlsj.4.12190.

29. Ngobese, N. Z., Workneh, T. S., & Siwela, M. (2017). Effect of low-temperature long-time and high-temperature short-time blanching and frying treatments on the French fry quality of six Irish potato cultivars. *Journal of Food Science and Technology*, 54(2), 507-517. doi.org /10.1007/s13197-017-2495-x.
30. Oladejo, A., Ma, H., Qu, W., Zhou, C., Wu, B., Uzoejinwa, B., Onwudeb, D. and Yanga, X. (2018) Application of Pretreatment Methods on Agricultural Products Prior to Frying: A Review. *Journal of the Science of Food and Agricultural*, 98, 456-466. doi.org/10.1002/jsfa.8502.
31. Oroian, M., Amariei, S., & Gutt, G. (2015). Acrylamide in Romanian food using HPLC-UV and health risk assessment. *Food Additives and Contaminants: Part B*, 8(2), 136-141. doi.org/10.1080/19393210.2015.1010240.
32. Pandey, A., & Singh, G. (2011). Development and storage study of reduced sugar soy containing compound chocolate. *Journal of food science and technology*, 48, 76-82. doi.org /10.1007/s13197-010-0136-8.
33. Powers, S. J., Mottram, D. S., Curtis, A., & Halford, N. G. (2021). Progress on reducing acrylamide levels in potato crisps in Europe, 2002 to 2019. *Food Additives & Contaminants: Part A*, 38(5), 782-806. doi.org /10.1080/19440049.2020.1871083.
34. Rois Anwar, N. Z., Kalaimangai a/p, S., & Asmaliza Abd. Ghani, Y. (2019). Effect of Different Processing Methods on the Physicochemical Properties and Sensory Evaluations of Sweet Potatoes Chips. *Journal Of Agrobiotechnology*.10(2), 51-63 Journal. unisza. edu.my/agrobiotechnology/index.php/agrobiotechnology/article/view/208.
35. Rothwell, J. A., Medina-Remon, A., Perez-Jimenez, J., Neveu, V., Knaze, V., Slimani, N., et al. (2015). Effects of food processing on polyphenol contents: A systematic analysis using Phenol-Explorer data. *Molecular Nutrition & Food Research*, 59(1), 160-170. doi.org /10.1002/mnfr.201400494.
36. Salvador, A., Varela, P., Sanz, T., & Fiszman, S. M. (2009). Understanding potato chips crispy texture by simultaneous fracture and acoustic measurements, and sensory analysis. *LWT - Food Science and Technology*, 42(3), 763-767. doi.org/10.1016/j.lwt.2008.09.016.
37. Sampaio, S. L., Petropoulos, S. A., Alexopoulos, A., Heleno, S. A., Santos-Buelga, C., Barros, L., & Ferreira, I. C. (2020). Potato peels as sources of functional compounds for the food industry: A review. *Trends in Food Science & Technology*, 103, 118-129. doi.org /10.1016/j.tifs.2020.07.015.
38. Sansano, M., Juan-Borras, M., Escriche, I., Andres, A., & Heredia, A. (2015). Effect of Pretreatments and Air-Frying, a Novel Technology, on Acrylamide Generation in Fried Potatoes. *Journal of Food Science*, 80(5), T1120-T1128. doi/abs/10.1111/1750-3841.12843.
39. Santos, C. S. P., Cunha, S. C., & Casal, S. (2017). Deep or air frying? A comparative study with different vegetable oils. *European Journal of Lipid Science and Technology*, 119(6), 1600375, 1-9. doi.org/10.1002/ejlt.201600375.
40. Shaker, A. (2014). Air Frying a New Technique for Produce of Healthy Fried Potato Strips. *Journal of Food and Nutrition Sciences*, 2, 200-206. doi: 10.11648/j.jfns.20140204.26.
41. Supmoon, N., & Noomhorm, A. (2013). Influence of combined hot air impingement and infrared drying on drying kinetics and physical properties of potato chips. *Drying Technology*, 31(1), 24-31. doi/abs/10.1080/07373937.2012.711792.
42. Teruel, M. d. R., Gordon, M., Linares, M. B., Garrido, M. D., Ahromrit, A., & Niranjan, K. (2015). A Comparative Study of the Characteristics of French Fries Produced by Deep Fat Frying and Air Frying. *Journal of Food Science*, 80(2), E349-E358.doi.org/10.1111/1750-3841.12753.

43. Tian, J., Chen, J., Lv, F., Chen, S., Chen, J., Liu, D., et al. (2016). Domestic cooking methods affect the phytochemical composition and antioxidant activity of purple-fleshed potatoes. *Food Chemistry*, 197, 1264-1270.doi.org/10.1016/j.foodchem.2015.11.049.
44. Tran, T. M., Chen, X. D., & Southern, C. (2007). Reducing oil content of fried potato crisps considerably using a ‘sweet’pre-treatment technique. *Journal of food engineering*, 80(2), 719-726. doi.org/10.1016/j.jfoodeng.2006.06.031.
45. Yu, L., Li, Y., Ding, S., Hang, F., & Fan, L. (2016). Effect of guar gum with glycerol coating on the properties and oil absorption of fried potato chips. *Food Hydrocolloids (Part A)*, 211- 219. doi.org/10.1016/j.foodhyd.2015.10.003.
46. Zaghi, A. N., Barbalho, S. M., Guiguer, E. L., & Otoboni, A. M. (2019). Frying Process: From Conventional to Air Frying Technology. *Food Reviews International*, 35(8), 763-777. doi.org/10.1080/87559129.2019.1600541.
47. Ziaifar, A. M., Courtois, F., & Trystram, G. (2010). Porosity development and its effect on oil uptake during frying process. *Journal of Food Process Engineering*, 33(2), 191-212. doi.org /10.1111/j.1745-4530.2008.00267.x.